

УДК 621.867.22:51.001.572

В.В. Дмитриева, С.В. Гершун

**РАЗРАБОТКА МАТЕМАТИЧЕСКОЙ МОДЕЛИ
ЛЕНТОЧНОГО КОНВЕЙЕРА С ДВУХДВИГАТЕЛЬНЫМ
ПРИВОДОМ**

Семинар № 13

Повышения эффективности эксплуатации конвейерного транспорта можно добиться путем разработки и внедрения автоматических систем управления скоростью движения конвейерной ленты в зависимости от параметров фактического грузопотока, поступающего на полотно конвейера. На кафедре АТ МГТУ выполнены исследования по созданию такой системы управления. Объектом управления в синтезируемой системе является электромеханическая система «управляемый электропривод-лента конвейера с грузом». В работах [1], [2], [3], [4] были получены математические модели конвейерных установок с однобарабанным приводом. Однако, в настоящее время рост грузопотоков и длин транспортирования обусловил широкое распространение высокопроизводительных конвейерных установок большой длины и мощности с двухдвигательным приводом. В данной статье рассматривается получение такой модели.

Общий принцип построения моделей движения ленты конвейера изложен в работах [1], [2], [4], [5]. Это принцип кусочно-линейной аппроксимации, который заключается в условном разбиении контура ленты на некоторое количество участков, в границах каждого из которых закон изменения скорости деформации по длине предполагается линейным. Расчетные схемы строятся с учетом следующих допущений:

- трасса конвейера прямолинейна с постоянным углом наклона ;
- трансмиссионные валы и муфты абсолютно жесткие;
- масса ленты и вращающихся частей роlikоопор равномерно распределена;
- нет проскальзывания ленты на роlikоопорах;
- лента представляется упруго-вязким стержнем;
- диссипативные силы внутреннего трения пропорциональны скорости деформации;
- массы хвостового и отклоняющегося барабанов пренебрежимо малы по сравнению с распределенной массой ленты и груза;
- коэффициенты сопротивления движению постоянны на грузовой и погрузной ветвях ленты;
- скорости в точках набегания и сбегания на приводном барабане равны.

Расчетная схема конвейерной установки с двумя приводами и натяжным устройством в хвостовой части приведена на рис. 1. Система с распределенными параметрами аппроксимируется шестью сосредоточенными массами, три

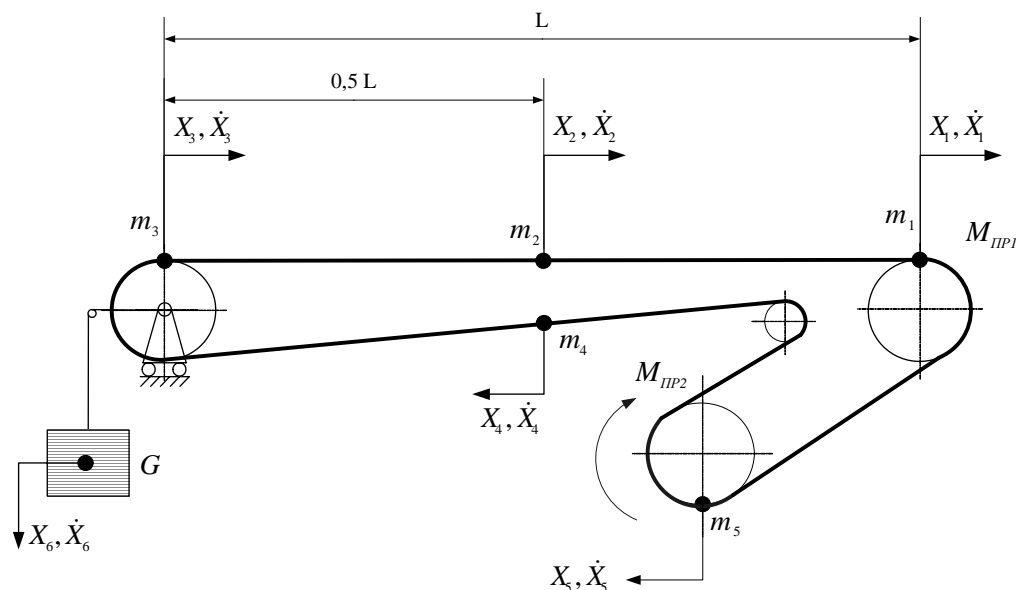


Рис. 1. Расчетная схема конвейера с двухдвигательным приводом

из которых m_1, m_2, m_3 расположены на грузовой ветви, две m_4, m_5 - на порожней, а m_6 - представляет собой массу натяжного устройства.

В основе построения математической модели положен метод Лагранжа второго рода:

$$\frac{d}{dt} \left(\frac{\partial}{\partial \dot{q}_i} T \right) - \left(\frac{\partial}{\partial q_i} T \right) + \frac{\partial}{\partial q_i} \Pi + \frac{\partial}{\partial q_i} A = 0. \quad (1)$$

где $i = 1, 2, \dots, 6$.

В котором в качестве обобщенных координат q_i приняты перемещения X_i и скорости перемещения \dot{X}_i сосредоточенных масс $m_i, i = 1, 2, \dots, 6$.

Кинетическая энергия ленты и груза, равномерно распределенного на соответствующем участке между точками i и j представлена выражением

$$T_{ij} = \frac{G_{ij} l_{ij}}{6g} [\dot{X}_i^2 + \dot{X}_i \dot{X}_j + \dot{X}_j^2], \quad (2)$$

где G_{ij} - вес ленты, роlikоопор и груза на участке ij , l_{ij} - длина участка, g - ускорение свободного падения.

Потенциальная энергия ij участка длиной l_{ij} складывается из энергии упругих деформаций и потенциальной энергии замкнутого контура ленты с распределенной массой

$$\Pi_{ij} = C_{ij} \frac{(X_i - X_j)^2}{2} + G_{ij} l_{ij} \frac{X_i + X_j}{2} \sin \beta. \quad (3)$$

Здесь C_{ij} - жесткость участка, β - угол наклона конвейера к горизонту.

Работа внешних сил на ij участке создается суммой сил сопротивления движению и движущей силы привода которое определяется из выражений

$$A_{ij} = G_{ij} l_{ij} \mu \frac{X_i + X_j}{2} \cos \beta, \quad A_{np} = -\frac{M_{n1}}{R_{61}} X_1 - \frac{M_{n2}}{R_{62}} X_5, \quad (4)$$

где μ – коэффициент сопротивления движению, M_{n1} и M_{n2} – движущие моменты приводов, приведенные к радиусу приводных барабанов, R_{62} и R_{61} – радиусы приводных барабанов.

Работа сил внутреннего трения на участке ij определяется в предположении, полагая, что силы внутреннего трения пропорциональны скоростям деформации

$$A_{ij} = \frac{\eta}{2} \left[(\dot{X}_i - \dot{X}_{i+1})(X_i - X_{i+1}) + (\dot{X}_i - \dot{X}_{i-1})(X_i - X_{i-1}) \right], \quad (5)$$

где η – коэффициенты вязкости ленты.

Кинетическая энергия системы для рассматриваемой расчетной схемы складывается из кинетической энергии T_K , замкнутого контура ленты с равномерно распределенным грузом на верхней ветви кинетической энергии T_{II} приводного и кинетической энергии T_H натяжного устройства.

Кинетическая энергия контура ленты:

$$T_K = \frac{G_r l}{6g} (\dot{X}_1^2 + \dot{X}_1 \dot{X}_2 + \dot{X}_2^2) + \frac{G_r l}{6g} (\dot{X}_2^2 + \dot{X}_2 \dot{X}_3 + \dot{X}_3^2) + \frac{G_n l}{6g} (\dot{X}_3^2 + \dot{X}_4 \dot{X}_3 + \dot{X}_4^2) + \frac{G_n l}{6g} (\dot{X}_4^2 + \dot{X}_5 \dot{X}_4 + \dot{X}_5^2) + \frac{G_n l}{6g} (\dot{X}_5^2 + \dot{X}_1 \dot{X}_5 + \dot{X}_1^2), \quad (6)$$

где G_r , G_n – погонный вес движущихся частей соответственно грузенной и порожней ветви.

Кинетическая энергия приводного устройства:

$$T_n = \frac{m_{n1}}{2} \dot{X}_1^2 + \frac{m_{n2}}{2} \dot{X}_5^2, \quad (7)$$

где m_{n1} , m_{n2} – массы вращающихся частей электродвигателей, редуктора, муфт и приводного барабана, приведенная к ободу барабана.

Кинетическая энергия натяжного устройства:

$$T_H = \frac{G_{ny} \dot{X}_6^2}{2g}, \quad (8)$$

где G_{ny} , \dot{X}_6 – соответственно вес и скорость перемещения натяжного устройства.

Суммируя полученные выражения получим выражения для полной T_Σ кинетической энергии системы:

$$T_\Sigma = \frac{G_r l}{6g} (\dot{X}_1^2 + \dot{X}_1 \dot{X}_2 + \dot{X}_2^2) + \frac{G_r l}{6g} (\dot{X}_2^2 + \dot{X}_2 \dot{X}_3 + \dot{X}_3^2) + \frac{G_n l}{6g} (\dot{X}_3^2 + \dot{X}_4 \dot{X}_3 + \dot{X}_4^2) + \frac{G_n l}{6g} (\dot{X}_4^2 + \dot{X}_5 \dot{X}_4 + \dot{X}_5^2) + \frac{G_n l}{6g} (\dot{X}_5^2 + \dot{X}_1 \dot{X}_5 + \dot{X}_1^2) + \frac{m_{n1}}{2} \dot{X}_1^2 + \frac{m_{n2}}{2} \dot{X}_5^2 + \frac{G_{ny} \dot{X}_6^2}{2g}. \quad (9)$$

Потенциальная энергия упругой деформации системы при принятых допущениях состоит из энергии Π_k замкнутого контура конвейерной ленты и потенциальной энергии Π_n канатов натяжного устройства.

Предполагая равными коэффициенты жесткости участков конвейерной ленты, получим:

$$\Pi_k = \frac{(X_1 - X_2)^2 C}{2} + \frac{(X_2 - X_3)^2 C}{2} + \frac{(X_3 - X_4)^2 C}{2} + \frac{(X_4 - X_5)^2 C}{2} + \frac{(X_5 - X_1)^2 C}{2}, \quad (10)$$

где C – коэффициент жесткости каждого участка.

Потенциальная энергия натяжного устройства:

$$\Pi_n = 0.5 \left(\frac{X_3 - X_4}{2} - X_6 \right)^2 C_K, \quad (11)$$

где C_K – коэффициент жесткости каната.

Потенциальная энергия положения натяжных грузов:

$$\Pi_r = G_{ny} X_6, \quad (12)$$

Работа внешних сил складывается из работы движущей силы привода, сил сопротивления движению ветвей ленты и натяжных грузов, а также силы торможения.

Суммируя полученные выражения, получим выражения для полной Π_Σ кинетической энергии системы:

$$\begin{aligned} \Pi_\Sigma = & \frac{(X_1 - X_2)^2 C}{2} + \frac{(X_2 - X_3)^2 C}{2} + \frac{(X_3 - X_4)^2 C}{2} + \frac{(X_4 - X_5)^2 C}{2} + \frac{(X_1 - X_5)^2 C}{2} + \\ & + 0.5 \left(\frac{X_3 - X_4}{2} - X_6 \right)^2 C_K + G_{ny} X_6 \end{aligned} \quad (13)$$

Работа движущей силы привода, при условии, что радиусы приводных барабанов одинаковы:

$$A_{пр} = -\frac{M_{n1}}{R_6} X_1 - \frac{M_{n2}}{R_6} X_5. \quad (14)$$

Работа сил сопротивления движению ветвей ленты:

$$A_K = 0.5 G_r l \mu' (X_1 + 2X_2 + X_3) + 0.5 G_n l \mu'' (X_3 + 2X_4 + 2X_5 + X_1), \quad (15)$$

где μ' , μ'' – коэффициенты сопротивления движению грузовой и порожней ветви.

Работа сил сопротивления движению натяжных грузов:

$$A_n = \pm G_{ny} f X_6, \quad (16)$$

где f – приведенный коэффициент сопротивления движению натяжных грузов.

Работа сил внутреннего трения замкнутого контура :

$$\begin{aligned} A_b = & (\dot{X}_1 - \dot{X}_2)(X_1 - X_2)\eta + (\dot{X}_2 - \dot{X}_3)(X_2 - X_3)\eta + (\dot{X}_3 - \dot{X}_4)(X_3 - X_4)\eta + \\ & + (\dot{X}_4 - \dot{X}_5)(X_4 - X_5)\eta + (\dot{X}_5 - \dot{X}_1)(X_5 - X_1)\eta. \end{aligned} \quad (17)$$

Введем обозначения:

$\frac{G_r l}{6g} = m_r$, $\frac{G_n l}{6g} = m_n$ - массы грузового и порожнего участка ленты соответственно.

Систему дифференциальных уравнений составляющих математическую модель движения ленточного конвейера получим согласно выражения (1), выполнив необходимые подстановки и дифференциальные преобразования полученных составляющих энергии (9), (13) и обобщенной работы (14)-(17).

1. $m_r(2\ddot{X}_1 + \ddot{X}_2) + m_m(2\ddot{X}_1 + \ddot{X}_5) + m_{np1}\ddot{X}_1 + C(2X_1 - X_2 - X_5) + 0.5(G_r l + G_n l_m)\mu \operatorname{sgn} \dot{X}_1 +$
 $+ \eta(2\dot{X}_1 - \dot{X}_2 - \dot{X}_5) = \frac{M_{np1}}{R_6} \operatorname{sgn}(\dot{X}_{c1} - \dot{X}_1),$
2. $m_r(2\ddot{X}_2 + \ddot{X}_1) + m_r(2\ddot{X}_2 + \ddot{X}_3) + C(2X_2 - X_1 - X_3) + G_r l \mu \operatorname{sgn} \dot{X}_2 + \eta(2\dot{X}_2 - \dot{X}_1 - \dot{X}_3) = 0,$
3. $m_r(2\ddot{X}_3 + \ddot{X}_2) + m_n(2\ddot{X}_3 + \ddot{X}_4) + C(2X_3 - X_2 - X_4) + 0.25C_k(X_3 - X_4 - 2X_6) +$
 $+ \eta(2\dot{X}_3 - \dot{X}_2 - \dot{X}_4) + 0.5(G_r + G_n)l \mu \operatorname{sgn} \dot{X}_3 = 0$
4. $m_n(2\ddot{X}_4 + \ddot{X}_3) + m_n(2\ddot{X}_4 + \ddot{X}_5) + C(2X_4 - X_5 - X_3) + 0.25C_k(X_4 - X_3 + 2X_6) +$
 $+ G_n l \mu \operatorname{sgn} \dot{X}_4 + \eta(2\dot{X}_4 - \dot{X}_5 - \dot{X}_3) = 0$
5. $m_n(2\ddot{X}_5 + \ddot{X}_4) + m_m(2\ddot{X}_5 + \ddot{X}_1) + m_{np2}\ddot{X}_5 + C(2X_5 - X_1 - X_4) +$
 $+ 0.5(G_n l + G_n l_m)\mu \operatorname{sgn} \dot{X}_5 + \eta(2\dot{X}_5 - \dot{X}_1 - \dot{X}_4) = \frac{M_{np2}}{R_6} \operatorname{sgn}(\dot{X}_{c2} - \dot{X}_5)$
6. $\frac{G_{ny}}{g} \ddot{X}_6 + 0.5C_k(X_4 - X_3 + 2X_6) + G_{ny} + G_{ny} f \operatorname{sgn} \dot{X}_6 = 0$

Проведя соответствующие алгебраические преобразования, получим следующую запись системы дифференциальных уравнений, описывающих движение загруженной ленты:

1. $(2m_r + 2m_m + m_{np})\ddot{X}_1 + m_r\ddot{X}_2 + m_n\ddot{X}_5 + 2\eta\dot{X}_1 - \eta\dot{X}_2 - \eta\dot{X}_5 + 2CX_1 - CX_2 - CX_5 +$
 $+ 0.5(G_r l + G_n l_m)\mu \operatorname{sgn} \dot{X}_1 = \frac{M_{np1}}{R_6} \operatorname{sgn}(\dot{X}_{c1} - \dot{X}_1),$
2. $m_r\ddot{X}_1 + 4m_r\ddot{X}_2 + m_r\ddot{X}_3 - \eta\dot{X}_1 + 2\eta\dot{X}_2 - \eta\dot{X}_3 - CX_1 + 2CX_2 - CX_3 + G_r l \mu \operatorname{sgn} \dot{X}_2 = 0,$
3. $m_r\ddot{X}_2 + (2m_r + 2m_n)\ddot{X}_3 + m_n\ddot{X}_4 - \eta\dot{X}_2 + 2\eta\dot{X}_3 - \eta\dot{X}_4 - CX_2 + (2C + 0.25C_k)X_3 -$
 $- (C + 0.25C_k)X_4 - 0.5C_k X_6 + 0.5(G_r + G_n)l \mu \operatorname{sgn} \dot{X}_3 = 0$
4. $m_n\ddot{X}_3 + 4m_n\ddot{X}_4 + m_n\ddot{X}_5 - \eta\dot{X}_3 + 2\eta\dot{X}_4 - \eta\dot{X}_5 - (C + 0.25C_k)X_3 + (2C + 0.25C_k)X_4 - CX_5$
 $+ G_n l \mu \operatorname{sgn} \dot{X}_4 = 0$
5. $m_m\ddot{X}_1 + m_n\ddot{X}_4 + (2m_n + 2m_m + m_{np2})\ddot{X}_5 - \eta\dot{X}_1 - \eta\dot{X}_4 + 2\eta\dot{X}_5 - CX_1 - CX_4 + 2CX_5 +$
 $+ 0.5(G_n l + G_n l_m)\mu \operatorname{sgn} \dot{X}_5 = \frac{M_{np2}}{R_6} \operatorname{sgn}(\dot{X}_{c2} - \dot{X}_5)$

$$6. \frac{G_{\text{нy}}}{g} \ddot{X}_6 - 0.5C_k X_3 + 0.5C_k X_4 + C_k X_6 + G_{\text{нy}} + G_{\text{нy}} f \operatorname{sgn} \dot{X}_6 = 0.$$

Для лаконичного представления этой модели используем матричный вид записи относительно вектора обобщенного перемещения

$$X = [X_1 \ X_2 \ X_3 \ X_4 \ X_5 \ X_6]^T:$$

$$M\ddot{X} + N\dot{X} + CX + S\operatorname{sgn} \dot{X} + VG_{\text{нy}} = P_1 \operatorname{sgn}(\dot{X}_{c1} - \dot{X}_1)M_{\text{np1}} + P_2 \operatorname{sgn}(\dot{X}_{c1} - \dot{X}_5)M_{\text{np2}}, \quad (18)$$

где

$$M = \begin{bmatrix} 2m_r + 2m_m + m_{\text{np1}} & m_r & 0 & 0 & m_m & 0 \\ m_r & 4m_r & m_r & 0 & 0 & 0 \\ 0 & m_r & 2m_r + 2m_{\text{п}} & m_{\text{п}} & 0 & 0 \\ 0 & 0 & m_{\text{п}} & 4m_{\text{п}} & m_{\text{п}} & 0 \\ m_m & 0 & 0 & m_{\text{п}} & 2m_{\text{п}} + 2m_m + m_{\text{np2}} & 0 \\ 0 & 0 & 0 & 0 & 0 & \frac{G_{\text{нy}}}{g} \end{bmatrix},$$

$$N = \begin{bmatrix} 2\eta & -\eta & 0 & 0 & -\eta & 0 \\ -\eta & 2\eta & -\eta & 0 & 0 & 0 \\ 0 & -\eta & 2\eta & -\eta & 0 & 0 \\ 0 & 0 & -\eta & 2\eta & -\eta & 0 \\ 0 & 0 & 0 & -\eta & 2\eta & 0 \\ 0 & 0 & 0 & 0 & 0 & 0 \end{bmatrix},$$

$$C = \begin{bmatrix} 2C & -C & 0 & 0 & -C & 0 \\ -C & 2C & -C & 0 & 0 & 0 \\ 0 & -C & 2C + 0.25C_k & -C - 0.25C_k & 0 & -0.5C_k \\ 0 & 0 & -C - 0.25C_k & 2C + 0.25C_k & -C & 0.5C_k \\ -C & 0 & 0 & -C & 2C & 0 \\ 0 & 0 & -0.5C_k & 0.5C_k & 0 & C_k \end{bmatrix},$$

$$S = \operatorname{diag} [0.5(G_r I + G_{\text{п}} I_m) \mu \quad G_r I \mu \quad 0.5(G_r + G_{\text{п}}) I \mu \quad G_{\text{п}} I \mu \quad 0.5(G_{\text{п}} I + G_{\text{п}} I_m) \mu \quad G_{\text{нy}} f],$$

$$P_1 = [R_6^{-1} \ 0 \ 0 \ 0 \ 0 \ 0]^T, \quad P_2 = [0 \ 0 \ 0 \ 0 \ R_6^{-1} \ 0]^T, \quad V = [0 \ 0 \ 0 \ 0 \ 0 \ 1]^T.$$

Для получения канонического представления умножим все члены выражения (18) на матрицу M^{-1} :

$$\ddot{X} + M^{-1}N\dot{X} + M^{-1}CX + M^{-1}S\operatorname{sgn} \dot{X} + M^{-1}VG_{\text{нy}} = M^{-1}P_1 \operatorname{sgn}(\dot{X}_{c1} - \dot{X}_1)M_{\text{np1}} + M^{-1}P_2 \operatorname{sgn}(\dot{X}_{c1} - \dot{X}_5)M_{\text{np2}}. \quad (19)$$

Введем в модель координаты состояния согласно каноническому правилу О.Коши:

$$\begin{aligned}
x_1 &= X_1 & x_7 &= \dot{X}_1 \\
x_2 &= X_2 & x_8 &= \dot{X}_2 \\
x_3 &= X_3 & x_9 &= \dot{X}_3 \\
x_4 &= X_4 & x_{10} &= \dot{X}_4 \\
x_5 &= X_5 & x_{11} &= \dot{X}_5 \\
x_6 &= X_6 & x_{12} &= \dot{X}_6
\end{aligned}$$

Модель движения конвейерной ленты в пространстве состояний представляется в виде системы нелинейных дифференциальных уравнений:

$$\begin{aligned}
\dot{x} &= -(M^{-1}N + M^{-1}C)x + M^{-1}S \operatorname{sgn} x + M^{-1}VG_{\text{н}} + M^{-1}P_1 \operatorname{sgn}(\dot{X}_{\text{cl}} - \dot{X}_1)M_{\text{пр1}} + \\
&+ M^{-1}P_2 \operatorname{sgn}(\dot{X}_{\text{cl}} - \dot{X}_5)M_{\text{пр2}}.
\end{aligned}$$

В данной системе внешними воздействиями являются движущие моменты, развиваемые приводами, вес натяжного устройства и силы сопротивления движению конвейерной ленты, поэтому введем следующие обозначения:

$u_1 = M_{\text{пр1}}$ - движущий момент первого привода;

$u_2 = M_{\text{пр2}}$ - движущий момент второго привода;

$u_3 = \operatorname{sgn} x$ - сопротивление движению конвейерной ленты;

$u_4 = G_{\text{н}}$ - вес натяжного устройства.

Матрица $A = -(M^{-1}N + M^{-1}C)$ является матрицей состояния системы, а матрицы $B_1 = M^{-1}P_1$, $B_2 = M^{-1}P_2$, $B_3 = M^{-1}S$, $B_4 = M^{-1}V$ - матрицами управления. Система уравнений принимает вид:

$$\dot{x} = Ax + B_1 \operatorname{sgn}(\dot{X}_{\text{cl}} - \dot{X}_1)u_1 + B_2 \operatorname{sgn}(\dot{X}_{\text{cl}} - \dot{X}_5)u_2 + B_3 u_3 + B_4 u_4. \quad (20)$$

Матрицы состояния и управления в модели являются блочными:

$$\begin{aligned}
A &= \begin{bmatrix} 0_{(6 \times 6)} & E_{(6 \times 6)} \\ -M^{-1}C_{(6 \times 6)} & 0_{(6 \times 6)} \end{bmatrix}_{(12 \times 12)}, \quad B = \begin{bmatrix} 0_{(6 \times 1)} \\ -M^{-1}P_{1(6 \times 1)} \end{bmatrix}_{(12 \times 1)}, \quad B_2 = \begin{bmatrix} 0_{(6 \times 1)} \\ -M^{-1}P_{2(6 \times 1)} \end{bmatrix}_{(12 \times 1)}, \\
B_3 &= \begin{bmatrix} 0_{(6 \times 6)} & 0_{(6 \times 6)} \\ 0_{(6 \times 6)} & -M^{-1}S_{(6 \times 6)} \end{bmatrix}_{(12 \times 1)}, \quad B_4 = \begin{bmatrix} 0_{(6 \times 1)} \\ -M^{-1}V_{(6 \times 1)} \end{bmatrix}_{(12 \times 1)}.
\end{aligned}$$

Компьютерное моделирование движения ленты с грузом для двухприводного конвейера проводилось в ППП MATLAB, приложении SIMULINK. Модель движения конвейерной ленты задана блоком *State Space*, позволяющем задавать внутренние модели линейных систем в виде:

$$\dot{x}(t) = Ax(t) + Bu(t), \quad x(0)$$

$$y(t) = Cx(t) + Du(t).$$

Внешние воздействия объединены блоком *Mux* в вектор

$$U_{15 \times 1} = [u_1 \quad u_2 \quad u_3 \quad u_4], \text{ а матрица управления является блочной}$$

$B = [B_1 \colon B_2 \colon B_3 \colon B_4]$. Выраженная через матрицы (18), она принимает вид:

$$B = \begin{bmatrix} 0_{(6 \times 1)} & 0_{(6 \times 1)} & 0_{(6 \times 6)} & 0_{(6 \times 6)} & 0_{(6 \times 10)} \\ -M^{-1}P_{1(6 \times 1)} & -M^{-1}P_{2(6 \times 1)} & 0_{(6 \times 6)} & -M^{-1}S_{(6 \times 6)} & -M^{-1}V_{(6 \times 1)} \end{bmatrix}.$$

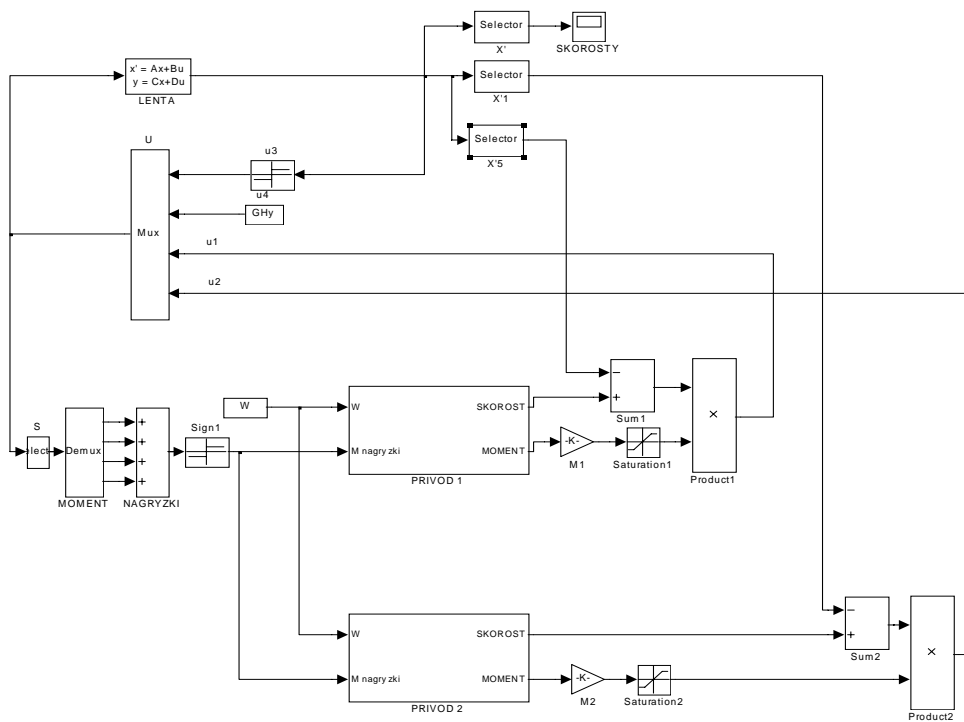


Рис. 2. Схема моделирования двухприводного конвейера в SIMULINK

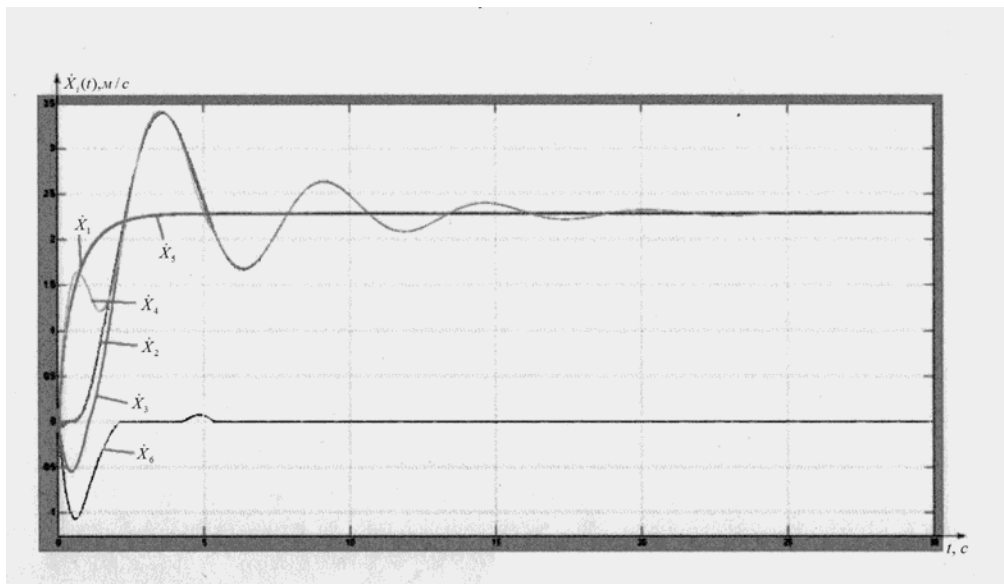


Рис.3. Переходные процессы по скоростям обобщенных координат при пуске конвейера со скоростью 2,5 м/с.

Для моделирования приводов используются готовые модели асинхронных короткозамкнутых приводов с частотно-векторным управлением. Для согласования модели движения конвейера и моделей приводов определен момент нагрузки на привода со стороны конвейера. Схема моделирования приведена на рис. 2. Моделирование проводилось для числовых значений:

$l = 1500 \text{ м}, m_r = 1518 \text{ кг}, m_n = 352 \text{ кг},$

$m_{пр1} = 3000 \text{ кг}, m_{пр2} = 2000 \text{ кг}, M_{пр1} = 20900 \text{ Нм}, M_{пр2} = 20900 \text{ Нм}, R_6 = 0.5 \text{ м},$

$\mu = 0.03, \mu = 0.03, f = 0.3, C = 10000 \text{ Н/м}, C_k = 10^{10} \text{ Н/м}, G_{ну} = 52000 \text{ кг}.$

Результатами компьютерного моделирования явились переходные процессы по скоростям обобщенных координат ленты и натяжного устройства, представленные на рис. 3. Графики соответствуют режиму разгона и режиму работы конвейера с постоянной скоростью. Эти результаты адекватны процессам, происходящим в реальном объекте, осциллограммы которых были получены Волотковским В.С. (МинЧерМет СССР). Результаты моделирования позволяют определять скорости и натяжения в характерных точках ленточного конвейера, что даст возможность в дальнейшем синтезировать систему управления скоростью движения конвейерной ленты при отсутствии пробуксовки на приводных барабанах и автоматически распределять нагрузку равномерно между приводами при любой скорости движения конвейера.

СПИСОК ЛИТЕРАТУРЫ

1. Запенин И.В., Бельфор В.Е., Селищев Ю.А. Моделирование переходных процессов ленточных конвейеров. – М.: Недра, 1969.
2. Дмитриева В.В. Разработка и исследование системы автоматической стабилизации погонной нагрузки магистрального конвейера. Диссертация на соискание ученой степени кандидата технических наук. М., 2005.
3. Дмитриева В.В., Певзнер Л.Д. «Автоматическая стабилизация погонной нагрузки ленточного конвейера». – М.: Издательство МГГУ, 2004.
4. Дмитриева В.В. «Математическая модель магистрального конвейера как объекта управления и автоматизации», «Горные машины и автоматика» №7, 2001.
5. Зюзичева Ю.Е. Модель ленточного конвейера, расположенного под углом к горизонту. Определение оптимального для переходного процесса угла наклона. – М.: Издательство МГГУ, ГИАБ №7, 2006. ГИАБ

Коротко об авторах

Дмитриева В.В. – кафедра АТ,
Гершун С.В. – кафедра АТ,
Московский государственный горный университет.

Доклад рекомендован к опубликованию семинаром № 13 симпозиума «Неделя горняка-2007».
Рецензент д-р техн. наук, проф. Л.Д. Певзнер.

